

АММОНИТЫ ЗЕМЛИ ФРАНЦА-ИОСИФА И ТАЙМЫРА И ИХ ЗНАЧЕНИЕ ДЛЯ ЗОНАЛЬНОГО РАСЧЛЕНЕНИЯ КИМЕРИДЖА В АРКТИКЕ

На Земле Франца-Иосифа отложения морского кимериджа до последнего времени были неизвестны. В 1957 г. на мысе Ганза были собраны аммониты, позволившие выделить здесь две зоны кимериджа. По описанию В. Д. Дибнера (1958) и Л. П. Пирожникова (1958), на юго-восточной оконечности мыса Ганза разрез кимериджа представлен в следующем виде. На высоте от 10 до 60 м над уровнем моря обнажаются листоватые слабо сцементированные алевролиты. В самых низах разреза встречены аммониты *Rasenia* sp., *Amoeboceras* (*Amoebites*) *spathi* sp. nov. и пеллециподы *Aucella bronni* Rouill., *Pecten* (*Entolium*) *demissus* Phill., *Leda* sp. indet., *Pleuromya* sp. indet. Выше по разрезу, на высоте 35 м над уровнем моря, алевролиты содержат аммонитов — *Amoeboceras* (*Hoplocardioceras*) *decipiens* Spath, *Amoeboceras* (*Amoebites*) *bodylevskii* sp. nov. и из пеллеципод *Aucella bronni* Rouill. Еще выше, на высоте 60 м над уровнем моря, встречен *Amoeboceras* (*Amoebites*) *bodylevskii* sp. nov. var. nov. На о. Бергхауз в песчаных известняках на высоте 35 м над уровнем моря были найдены обломки аммонита такого же типа, как *A. bodylevskii* sp. nov. На высоте около 100 м обнаружены *Aucella* ex gr. *bronni* Rouill., *Oxytoma* sp. indet. (сборы В. А. Миронова).

Новый вид *Amoeboceras* (*Amoebites*) *spathi* sp. nov. очень близок к *A. kitchini*. Представители этого нового вида, помимо Земли Франца-Иосифа, были встречены автором в 1955 г. в валунах Таймырской низменности (бассейн р. Хеты). Здесь же в массовом количестве в низах разреза кимериджа были собраны и типичные *A. kitchini*, описание и изображение которых мы приводим в настоящей статье для сравнения с новым видом. Стратиграфическое положение *A. spathi* sp. nov. аналогично *A. kitchini*, следовательно, этот вид характеризует нижнюю часть кимериджа. На мысе Ганза он встречен в самых низах разреза, на 25 м ниже *Amoeboceras* (*Hoplocardioceras*) *decipiens* Spath, и *Amoeboceras* (*Amoebites*) *bodylevskii* sp. nov. На р. Хете *A. spathi* sp. nov. встречен в одних валунах с *A. subkitchini* Spath. *A. beaugrandi* Sauc., с которым мы отождествляем *A. spathi*, изображен, но не описан Л. Слэтом в работе 1935 г. и помещен им под вопросом в зону *Rasenia* *cytodocae*. Стратиграфическое положение *Amoeboceras* (*Amoebites*) *bodylevskii* sp. nov. устанавливается по совместному нахождению его с *Amoeboceras* (*Hoplocardioceras*) *decipiens* Spath, который, по мнению Л. Слэта, характеризует верхний горизонт нижнего кимериджа.

Наиболее полный разрез кимериджа в пределах Арктики описан Л. Спэтом (1935) и В. Майнком (1947) для Восточной Гренландии. Здесь нижний кимеридж («черная серия») представлен толщей сланцев с линзами известняков и известковистых песчаников мощностью от 180 до 630 м. По Л. Спэту нижние 75 м кимериджа — слои с *Amoebites* — охарактеризованы фауной аммонитов, позволившей ему выделить четыре горизонта (снизу вверх): 1) с *Rasenia orbigny*; 2) с *Rasenia borealis*; 3) с *Amoeboceras (Euprionoceras) kochi*; 4) с *Amoeboceras (Hoplocardioceras) decipiens*.

Выше идет 86-метровый слой глинистых сланцев. Нижние 50 м палеонтологическими остатками не охарактеризованы. Верхние 36 м — перисфинктовый горизонт с плохой аммонитовой фауной: ? *Subdichotomoceras* (? *Sphinctoceras*) sp., ? *Subplanites* (? *Virgatosphinctoides*) sp. indet., которая по нашим схемам соответствует нижнему подъярису нижнего волжского яруса.

Полный разрез нижнего кимериджа присутствует в Усть-Енисейской впадине (в районе Малохетской антиклинали), где, по данным В. Н. Сакса и З. З. Ронкиной (1957), на средние горизонты оксфорда, а местами и на келловей ложатся с размывом глауконитовые песчаники, алевролиты и глины мощностью около 50 м с фауной нижнего кимериджа, изучавшейся В. И. Бодылевским и Н. И. Шульгиной (1958).

Сводный разрез описан в основном по скв. № 1-Р, 10-Р и 12-Р. Самые нижние горизонты мощностью 30—35 м охарактеризованы *Amoeboceras (Amoebites)* sp., *Cylindroteuthis* aff. *puzosianus* Orb., *C.* aff. *oweni* Phill., *Aucella* cf. *aviculoides* Pavl., *Aucella* ex gr. *bronni* Rouill., *Pecten (Camptonectes)* cf. *lens* Sow. и другими пелециподами. В 35—40 м от подошвы в глинисто-алевритовых породах вместе с *Amoeboceras (Amoebites?)* sp. nov. № 1 и *Amoeboceras (Amoebites?)* sp. nov. № 2 встречены *Pictonia* sp. indet., *Pachyteuthis pandariana* Orb., *Aucella* cf. *kirghisensis* Sok. В 50—100 м от подошвы кимериджа появляются *Amoeboceras (Euprionoceras) sokolovi* Bodyl., *Amoeboceras (Euprionoceras)* cf. *kochi* Spath, *Aucella* cf. *bronni* Rouill., *Aucella* cf. *tenuistriata* Lah. Еще выше, в 130—150 м от подошвы, в таких же глинисто-алевритовых породах найдены *Amoeboceras (Hoplocardioceras)* cf. *decipiens* Spath, *Amoeboceras (Euprionoceras)* cf. *sokolovi* Bodyl., *Rasenia* (?) sp. indet. и *Aucella* ex gr. *bronni* Rouill.

В. И. Бодылевский в скв. № 10-Р выделил две зоны нижнего кимериджа. Нижняя содержит *Amoeboceras (Amoebites?)* sp. № 3, *Amoeboceras (Amoebites)* sp. № 4, *Amoeboceras (Amoebites)* sp. Верхняя зона охарактеризована аммонитами *Amoeboceras (Euprionoceras)* cf. *kochi* Spath, *Amoeboceras (Euprionoceras) sokolovi* Bodyl., *Amoeboceras (Hoplocardioceras)* cf. *decipiens* Spath. Верхние 14 м разреза кимериджа (возможно, верхний подъярус) фаунистически не охарактеризованы. Общая мощность кимериджских отложений в Усть-Енисейской впадине в скв. № 10-Р 167 м. Выше, в присводовой части Малохетской антиклинали, на погружениях структуры с размывом лежат нижеволжские глины и алевролиты с *Subplanites* (?) *rotor* Bodyl., *Dorsoplanites* sp.

На р. Хете по сборам В. Н. Сакса, З. З. Ронкиной и Н. И. Шульгиной (1957 г.) выделяются отложения нерасчлененного на зоны нижнего кимериджа. На бечевнике реки наблюдаются небольшие выходы плит и конкреций известковистых песчаников и реже алевролитов с *Amoeboceras (Amoebites) kitchini* Salf., *Rasenia uralensis* Orb., *Rasenia* (?) *cymodoce* Orb., *Pictonia* sp., *Divisosphinctes* (?) sp. nov., *Aucella bronni* Rouill., *Pecten (Entolium) demissus* Phill. Так как здесь выходы нижекимериджских пород очень малы и разрознены, проследить посте-

пенное изменение фауны по разрезу не представляется возможным. Более высокие горизонты нижнего кимериджа, которые отвечали бы слоям с *Amoeboceras* (*Hoplocardioceras*) *decipiens* Spath на р. Хете, возможно, представлены выходящими на бечевнике караваями известковистых алевролитов с малохарактерной фауной *Amoeboceras* sp. indet., *Belemnites* sp. indet., *Aucella* sp. indet., *Pleuromia tellina* Ag.

Несколько иной характер носит строение кимериджа на Северном Урале. По описанию Н. П. Михайлова (1957 г.), в бассейне р. Северной Сосьвы в пачке глин с прослоями алевролитов общей мощностью 50—100 м выделяются два горизонта. Нижний горизонт охарактеризован *Rasenia* cf. *orbignyi* Togn., *Rasenia* aff. *borealis* Spath., *Pictonia* sp. nov. Верхний горизонт содержит *Rasenia uralensis* Orb., *Rasenia involuta* Salf., *Rasenia similis* Spath, *Amoeboceras* (*Amoebites*) *kitchini* Salf. Выше лежит верхний кимеридж, представленный глинами мощностью до 20—30 м с *Aulacostephanus* cf. *eudoxus* Orb. и *Pachyteuthis troslayana* Orb.

Таким образом, расчленение кимериджа Северного Урала, с одной стороны, близко к расчленению низов кимериджского яруса Восточной Гренландии, так как здесь присутствуют два горизонта с *Rasenia*, с другой стороны, отсутствие горизонта с *Amoeboceras* (*Hoplocardioceras*) *decipiens* Spath сближает его со строением кимериджа Русской платформы.

На Всесоюзном совещании по уточнению унифицированной схемы мезозойских отложений Русской платформы, состоявшемся в декабре 1958 г., принято решение выделять в нижнем кимеридже одну зону с *Cardioceras* (*Amoeboceras*) *kitchini* и *Rasenia stephanoides* и оставить в верхнем кимеридже одну зону с *Aulacostephanus pseudomutabilis*. Существовавшая в схеме 1954 г. верхняя зона верхнего кимериджа с *Exogyra virgula* в новую схему не вошла.

Присутствие на Северном Урале верхнего кимериджа с *Aulacostephanus* (нигде до сих пор в Арктической области не встреченными) тоже сближает кимеридж этого района с кимериджем Русской платформы.

Итак, в районах Арктики в кимеридже можно выделить две зоны — нижнюю с *Amoeboceras* (*Amoebites*) *kitchini* и верхнюю с *A.* (*Hoplocardioceras*) *decipiens*. Сопутствующими видами нижней зоны являются *Rasenia uralensis* Orb., *Rasenia* (?) *cymodoce* Orb., *Pictonia* sp., *Amoeboceras* (*Amoebites*) sp. № 1, 2, 3, 4, *Divisosphinctes* (?) sp. nov., *Amoeboceras* (*Amoebites*) *subkitchini* Spath, *Amoeboceras* (*Amoebites*) *spathi* sp. nov. Сопутствующими видами верхней зоны являются *Amoeboceras* (*Euprionoceras*) *kochi* Spath., *A.* (*Euprionoceras*) *sokolovi* Bodyl. и *A.* (*Amoebites*) *bodylevskii* sp. nov. Гренландский горизонт с *A.* (*Hoplocardioceras*) *decipiens* Л. Спэт сопоставляет с европейской зоной *Aulacostephanus* Yо и *Aspidoceras longispinum*; последний вид в работе В. Аркелла (1956, стр. 21) попадает в нижнюю часть зоны *Aulacostephanus pseudomutabilis*. Поскольку представители рода *Aulacostephanus* в пределах Арктики не встречены, можно высказать предположение, не замечаются ли они здесь *Amoeboceras* (*Hoplocardioceras*) *decipiens* и сопутствующими ему видами. Если это так, то слои с фауной верхней зоны арктического кимериджа соответствуют зоне с *Aulacostephanus pseudomutabilis*. Окончательно решить этот вопрос невозможно до нахождения в одном разрезе представителей зон *Aulacostephanus pseudomutabilis* и *Amoeboceras* (*Hoplocardioceras*) *decipiens*.

ОПИСАНИЕ ФАУНЫ

СЕМ. CARDIOCERATIDAE

Род *Amoeboceras* Hyatt, 1900

Подрод *Amoebites* Buckman, 1925

Amoeboceras (Amoebites) kitchini Salf.

Табл. I, фиг. 1—5; табл. II, фиг. 1

1915. *Cardioceras kitchini* Salfeld. Monographie der Gattung *Cardioceras*. Стр. 189, табл. XIX, фиг. 8—17; табл. XX, фиг. 15—16.
 1931. *Cardioceras* cf. *kitchini* Sokolov und Bodylevsky. Jura und Kreidefaunen von Spitzbergen. Стр. 84, табл. VII, фиг. 1—3; табл. VIII, фиг. 3; табл. IX, фиг. 2.
 1935. *Amoeboceras (Amoebites) kitchini* Spath. Oxfordian and Lower Kimmeridgian of Cape Leslie, табл. I, фиг. 9a, б.
 1951. *Amoeboceras (Amoebites) kitchini* Waterston. The stratigraphy and paleontology of the Jurassic rocks of Eathie (Cro-marty). Стр. 42, табл. II, фиг. 4a, б.

В русской литературе подробного описания *Amoeboceras kitchini* не имеется, а потому нам кажется целесообразным дать характеристику вида, приведенную Х. Зальфельдом: «Вид имеет почти прямоугольное сечение оборотов и широкий высокий киль, который сопровождается двумя боковыми бороздками. Сечение оборотов с возрастом меняется. При диаметре раковины до 10 мм высота оборота меньше его толщины. При диаметре 10 мм обе величины одинаковые, и при диаметре 12 мм высота оборота превышает его толщину. Ребристость сильная. Число умбональных ребер на обороте около 30. Взрослые стадии имеют число ребер на обороте больше 30. В верхней части боковой стороны ребра делятся большей частью на две ветви. Места деления ребер заметны благодаря бугоркам, перед которыми ребра слегка сглаживаются. Более взрослые обороты раздваивающихся ребер не имеют. На краю боковой поверхности ребра вздуваются и серповидно изгибаются вперед. Киль состоит из валиков (Kielleisten), их приходится по два-три на одиночное ребро». Х. Зальфельд считает, что на киле ребра не прерываются. Им были изучены экземпляры (преимущественно внутренние обороты) от 7,3 до 45 мм в диаметре.

Благодаря большому количеству материала мы смогли проследить изменение раковины от самых молодых стадий (диаметр 10 мм) до взрослых (диаметр 70 мм). В результате можно привести некоторые дополнительные сведения, относящиеся к характеристике вида.

Было просмотрено свыше 20 экземпляров. Измерение удалось провести только для семи хорошо сохранившихся экземпляров. Остальные представлены обломками.

Размеры (мм):

Экземпляры	1	2	3	4	5	6
	(фиг. 1 табл. I)	(фиг. 2 табл. I)	(фиг. 3 табл. I)	(фиг. 5 табл. I)	(фиг. 1 табл. II)	
Диаметр	10	12	26	50	68	72
Ширина пупка	3(0,30)	4(0,33)	7(0,27)	16(0,32)	22(0,32)	22(0,30)
Боковая высота	4,5(0,45)	5,5(0,45)	10(0,38)	18(0,36)	27(0,40)	29(0,40)
Внутренняя высота	4(0,40)	4,5(0,37)	~8(0,30)	16,5(0,33)	25(0,36)	~23(0,32)
Толщина	4(0,40)	5,5(0,45)	~8,5(0,32)	20(0,40)	?	?
Соотношение числа умбональ- ных ребер, периферических ребер и бугорков кия	—	—	33:39:85	36:30:80	39:32:?	35:30:78

По внешнему облику экземпляры диаметром от 10 до 25—26 мм почти неотличимы от оригиналов Х. Зальфельда, изображенных им на табл. XIX, фиг. 8—17. Они имеют такую же (от округлой до прямоугольной) форму поперечного сечения оборотов с той разницей, что толщина оборота несколько больше высоты, и ту же скульптуру. Можно добавить, что состоит эта скульптура в самых начальных стадиях из тонких часто расположенных штрихов, постепенно переходящих в тонкие одиночные ребрышки, которые перемежаются со вставными. На полуоборота приходится 15 ребер, т. е. такое же количество, как и у английских форм.

Характерных для вида бороздок, сопровождающих киль, на ранних стадиях роста еще нет (табл. I, фиг. 1, 2), и, по-видимому, Х. Зальфельд имеет в виду именно эти стадии, когда говорит о наличии связи ребер с килевыми образованиями. Киль на первоначальных этапах развития имеет вид выпуклых точек, тесно сближенных друг с другом; число их в полтора раза превышает число умбональных ребер.

У наших экземпляров бороздки, сопровождающие киль, появляются при диаметре 17—18 мм. К этому времени и сам киль приобретает форму, описанную Х. Зальфельдом, т. е. становится высоким, широким и состоит из тесно сближенных зубцов. Начиная с оборотов диаметром 25—26 мм, число зубцов кили в 2—2,5 раза превышает число умбональных ребер; это соотношение, как видно из таблицы, остается постоянным и для самых крупных форм (при диаметре 72 мм число умбональных ребер—35, число периферических ребер—30, число килевых зубцов—78). Скульптура средних оборотов представлена преимущественно одиночными ребрами; раздваивающихся ребер очень мало. Так, например, при диаметре оборота 26 мм коэффициент ветвления 1,2, а при диаметре оборота 36 мм—1,0. При диаметре раковин свыше 45 мм число периферических ребер становится меньше умбональных за счет того, что часть ребер не доходит до краев боковой поверхности. При диаметре оборота 48 мм коэффициент ветвления 0,92, при диаметре 72 мм—0,86. Эта особенность была замечена В. И. Бодылевским (1931) для шпидбергенских форм.

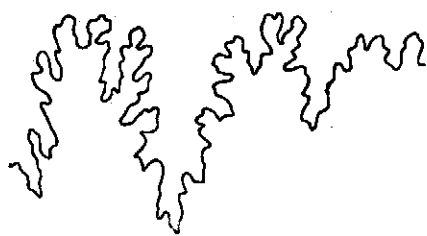


Рис. 1. Лопастная линия *Amoeboceras (Amoebites) kitchini* Salf. (×3,5).

На ранних стадиях *A. kitchini* легко спутать с *A. alternans*, и только у более поздних форм появляются такие характерные скульптурные признаки вида, как высокий и широкий киль, приподнятость ребер на середине боковой поверхности, затем сглаженность их при приближении к килю до полного исчезновения части ребер у крупных форм и появление сильных вздутий на концах ребер. Эти вздутия имеют вид шипов, расположенных на краю боковой поверхности. Лопастная линия (рис. 1) слабо изрезана. Седла шире лопастей. Наружная лопасть короче первой боковой лопасти. Вторая боковая лопасть более чем в два раза меньше первой.

Возраст и географическое распространение. Нижний кимеридж (нижняя зона). Слои с *Rasenia uralensis* Германии и Англии, нижний кимеридж Шпидбергена, Северного Урала, Севера Сибири. Нижний кимеридж Русской платформы.

Местонахождение. Таймыр. Верхнее течение р. Хеты.

Amoeboceras (Amoebites) spathi sp. nov.

Табл. I, фиг. 6, 7; табл. II, фиг. 2, 3; табл. III, фиг. 1, 2, 3

1935. *Amoeboceras (Amoebites) beaugrandi* Spath. Oxfordian and Lower Kimmeridgian of Cape Leslie. Табл. 5, фиг. 4а, б.

Non 1871—1872. *Ammonites beaugrandi* Sauvage et Rigaux. Journ. de Conchyliologie. Т. XIX, стр. 349, и т. XX, стр. 165, табл. 10, фиг. 6.

Шесть экземпляров аммонитов, найденных в валунах на р. Боярке (Таймырская низменность), и три экземпляра из коренных выходов с Земли Франца-Иосифа имеют несомненное сходство с формой, изображенной Л. Спэтом на табл. 5, фиг. 4а, б в работе, приведенной в синонимике. Описываемый вид имеет ряд признаков, общих с *Amoeboceras (Amoebites) kitchini*. Самые молодые обороты, выбитые из крупных экземпляров (табл. II, фиг. 3) ничем не отличаются от молодых оборотов *A. kitchini*, однако при диаметре раковины в 25—30 мм отличие в ее строении резко выступает. На этих стадиях концы ребер, серповидно изгибаясь на краю боковой поверхности, переходят на киль без всякого перерыва. Бороздки, сопровождающие киль, не появляются и на самых крупных экземплярах (табл. II, фиг. 2б; табл. III, фиг. 2б). Сам же киль значительно ниже. Кроме того, у крупных экземпляров он гораздо шире и состоит из поперечных вытянутых валиков. Скульптура боковой поверхности представлена ребрами такого же типа, как и у *A. kitchini*. В коллекции имеется девять экземпляров; размеры можно привести только для четырех из них, хорошо сохранившихся.

Размеры (мм):

Экземпляры	1	2	3	4	5	6
	(фиг. 3 табл. II)			(фиг. 1 табл. III)	Оригинал Х. Соважа	Оригинал Л. Спэта
Диаметр	11	30	35	46	20	28
Ширина пупка	?	9(0,30)	11(0,31)	16(0,34)	5(0,25)	9,5(0,34)
Боковая высота	4(0,36)	10,5(0,35)	13(0,37)	15(0,32)	8(0,40)	11(0,39)
Внутренняя высота	4(0,36)	10(0,33)	10(0,29)	13,5(0,29)	7(0,35)	—
Толщина	4,2(0,38)	11(0,36)	13(0,37)	14(0,30)	5(0,25)	—
Соотношение числа умбональных ребер, периферических ребер и бугорков кия	—	40:48:94	40:50:?	50:48:?	—	—

Примечания. 1. Размеры оригинала Х. Соважа даны по фиг. 6 на табл. X (Sauvage, 1871—1872), где экземпляр увеличен до 20 мм. 2. Размеры оригинала Л. Спэта даны по фиг. 4а, б на табл. 5 (Spath, 1935).

Описываемые формы, как уже было указано выше, более всего сходны с *A. beaugrandi* Л. Спэта. Судя по экземпляру, изображенному Л. Спэтом на табл. 5, фиг. 4 а, б, между ними нет никаких отличий. К сожалению, Л. Спэт не дает его описания. Х. Соваж (1871—1872) описал маленькие экземпляры *Cardioceras beaugrandi* диаметром 11 мм. Из наших крупных экземпляров удалось выбить начальные стадии диаметром также 11 мм, но явно отличающиеся от экземпляров Х. Соважа. Форма сечения оборота у наших экземпляров овальная, у экземпляра Х. Соважа прямоугольная; киль состоит из мелких бугорков, чуть возвышающихся над оборотом, в отличие от *C. beaugrandi* S a u v., у которого он тянется в виде обособленного и значительно возвышающегося над оборотом тяжа; *A. spathi* значительно толще, что видно из приведенных выше размеров.

Число умбональных ребер у *A. spathi* примерно такое же, как у *A. kitchini*. Х. Зальфельд (1915) основным отличием *A. beaugrandi* от *A. kitchini* считает более редкую ребристость.

Лопастная линия не сохранилась.

Возраст и географическое распространение. Нижний кимеридж (нижняя зона). На Земле Франца-Иосифа *A. spathi* найден в самых низах разреза кимериджа вместе с *Rasenia* sp. Л. Спэт относит этот вид с вопросом к зоне *R. sumodoce*.

Местонахождение. Мыс Ганза (о. Земля Вильчека) на Земле Франца-Иосифа. Бечевник р. Боярки (Таймырская низменность).

Amoeboceras (Amoebites) bodylevskii sp. nov.

Табл. IV, фиг. 1, 2

Вместе с *Amoeboceras (Hoplocardioceras) decipiens* Spath на Земле Франца-Иосифа были встречены аммониты, по строению стоящие ближе всего к группе *A. kitchini*. В нашем распоряжении имеются три целых экземпляра, сильно деформированных (сплюснутых), и несколько обломков.

Вид характеризуется широким плоским пупком с пологим склоном, довольно высокими оборотами, прямыми, рельефно выступающими ребрами, которые на краю боковой поверхности вздуваются и серповидно заггибаются вперед, и невысоким килем. Киль сохранился только на отдельных участках раковины и имеет вид поперечных зубцов. Бороздок, сопровождающих киль, как это свойственно типичным *A. kitchini*, не видно, но зато, так же как у крупных экземпляров *A. kitchini*, ребра на периферической части раковины сливаются попарно. На меньшем из изображенных экземпляров (фиг. 1) можно видеть довольно правильное чередование одиночных и слившихся ребер. Большой экземпляр (фиг. 2) обладает более грубыми ребрами, которые значительно реже сливаются попарно; его мы выделяем как груборебристую вариацию вида.

От *A. kitchini* вид отличается большей густотой ребер (62—68); число ребер в два раза больше, чем у *A. kitchini*. Кроме того, ребра в периферической части только утолщаются, не образуя шипов и не вздуваясь на срединной части боковой поверхности. Пупковая стенка у *A. bodylevskii* пологая, у *A. kitchini* ступенчатая.

Размеры (мм):

Экземпляры	1	2
	(фиг. 1 табл. IV)	(фиг. 2 табл. IV)
Диаметр	87	114
Ширина пупка	28 (0,32)	42 (0,36)
Боковая высота	34 (0,39)	39 (0,34)
Внутренняя высота	?	?
Толщина	?	?
Коэффициент ветвления	0,62	—

Лопастная линия не сохранилась.

Возраст и географическое распространение. *Amoeboceras (Amoebites) bodylevskii* sp. nov. встречен в одном слое с *Amoeboceras (Hoplocardioceras) decipiens* Spath и, следовательно, может характеризовать верхнюю зону нижнего кимериджа. *A. (Amoebites) bodylevskii* sp. nov. var. nov., или груборебристая вариация, располагается в разрезе на 35 м выше.

Местонахождение. Мыс Ганза (о. Земля Вильчека) на Земле Франца-Иосифа.

1935. *Amoeboceras (Hoplocardioceras) decipiens* Spath. Oxfordian and Lower Kimmeridgian of Cape Leslie. Стр. 36, табл. II, фиг. 1, 2; табл. III, фиг. 2; табл. IV, фиг. 7.

Имеющиеся в нашей коллекции пять экземпляров этого вида сильно сплющены и покрыты щетками кальцита, скрывающими подробности скульптуры, что затрудняет их изучение. Тем не менее сохранились самые существенные признаки вида: три ряда округлых бугров, расположенных на боковой поверхности раковины, и остатки киля на вентральной стороне. На табл. III, фиг. 4, дана фотография лучшего из сохранившихся экземпляров. Можно видеть, что обороты раковины довольно высокие, пупок широкий. При диаметре раковины 95 мм на половину оборота приходится шесть умбональных бугров, шесть бугров второго ряда и семь вентральных. Ввиду плохой сохранности радиальные ребра, на которых располагаются бугры, еле заметны. Лопастная линия не сохранилась. Нет ее и у форм, изображенных Л. Спэтом.

Размеры (мм):

Экземпляры	1 (фиг. 4, табл. III)	2	3*
Диаметр	95	92	83
Ширина пупка	30 (0,31)	31 (0,33)	31 (0,37)
Высота	40 (0,42)	34 (0,37)	40 (0,48)

В Советском секторе Арктики *Amoeboceras (Hoplocardioceras) decipiens* Spath впервые был встречен в скважинном материале из Усть-Енисейского района. Сохранность экземпляров этого вида настолько плохая, что вид не попал в таблицу изображений, приведенную в работе В. И. Бодылевского и Н. И. Шульгиной (1958). Вторично *A. (Hoplocardioceras) decipiens* Spath найден на Земле Франца-Иосифа.

Возраст и географическое распространение. В Восточной Гренландии *A. decipiens* встречен в верхнем горизонте кимериджа. В Усть-Енисейском районе и на Земле Франца-Иосифа в отложениях этого же возраста.

Местонахождение. Мыс Ганза (о. Земля Вильчека).

ЛИТЕРАТУРА

Бодылевский В. И., Шульгина Н. И. Юрские и меловые фауны низовьев Енисея. Труды Инст. геол. Арктики, т. 93, 1958.
Дибнер В. Д. Новые данные по стратиграфии мезозойских отложений Земли Франца-Иосифа. Сборн. стат. по палеонтол. и биостр., изд. Инст. геол. Арктики, вып. 9, Л., 1958.
Пирожников Л. П. Верхняя юра архипелага Земли Франца-Иосифа. Докл. АН СССР, т. 122, № 3, 1958.
Сакс В. Н., Ронкина З. З. Юрские и меловые отложения Усть-Енисейской впадины. Труды Инст. геол. Арктики, т. 90, 1957.
Arkell W. J. Jurassic Geology of the World. Edinburgh, 1956.
Mauns W. Stratigraphie der Jurabildungen Ostgrönlands. Meddelelser om Grönland, Bd. 132, № 2, 1947.

* Размеры, приведенные Л. Спэтом (1935, стр. 36).

Salfeld H. Monographie der Gattung *Cardioceras* Neum. et Uhlig. Zeitschr. d. deutsch. Geol. Gesellsch., Bd. 67, Abhandl., H. 3, 1915.

Sauvage H. E. et Rigaux E. Description d'espèces nouvelles des terrains jurassiques de Boulogne sur Mer. Journ. de Conchyliologie, v. XIX, XX, 1871—1872.

Spath L. F. The Upper Jurassic Invertebrate Faunas of Cape Leslie. Milne Land. I. Oxfordian and Lower Kimmeridgian. Meddelelser om Grønland, Bd. 99, № 2, 1935.

Sokolov D. und Bodylevsky W. Jura-und Kreidefaunen von Spitzbergen. Skrifter om Svalbard og Ishavet, № 35, 1931.

Waterston C. D. The stratigraphy and paleontology of the Jurassic rocks of Eathie (Cromarty). Trans. society of Edinburgh, 1950—51.

ОБЪЯСНЕНИЕ ТАБЛИЦ

ТАБЛИЦА I

Фиг. 1, 2, 3, 4, 5. *Amoeboceras (Amoebites) kitchini* Salf. на разных возрастных стадиях.

Фиг. 6, 7. *Amoeboceras (Amoebites) spathi* sp. nov.

ТАБЛИЦА II

Фиг. 1. *Amoeboceras (Amoebites) kitchini* Salf.

Фиг. 2. *Amoeboceras (Amoebites) spathi* sp. nov.

Фиг. 3. *Amoeboceras (Amoebites) spathi* sp. nov.

Начальный оборот экземпляра, изображенного на фиг. 2 (X2).

ТАБЛИЦА III

Фиг. 1, 2, 3. *Amoeboceras (Amoebites) spathi* sp. nov.

Фиг. 4. *Amoeboceras (Hoplocardioceras) decipiens* Spath.

ТАБЛИЦА IV

Фиг. 1. *Amoeboceras (Amoebites) bodylevskii* sp. nov.

Фиг. 2. *Amoeboceras (Amoebites) bodylevskii* sp. nov. var. nov.



1a



1b



1c



2a



2b



2c



3a



3b



4a



4b



4c



5b



5c



5a



6a



6b



7b



7a



1b



1a



1c



2a



2b



x2

3a



x2

3b



x2

3c



1a



4



1b



2a



2b



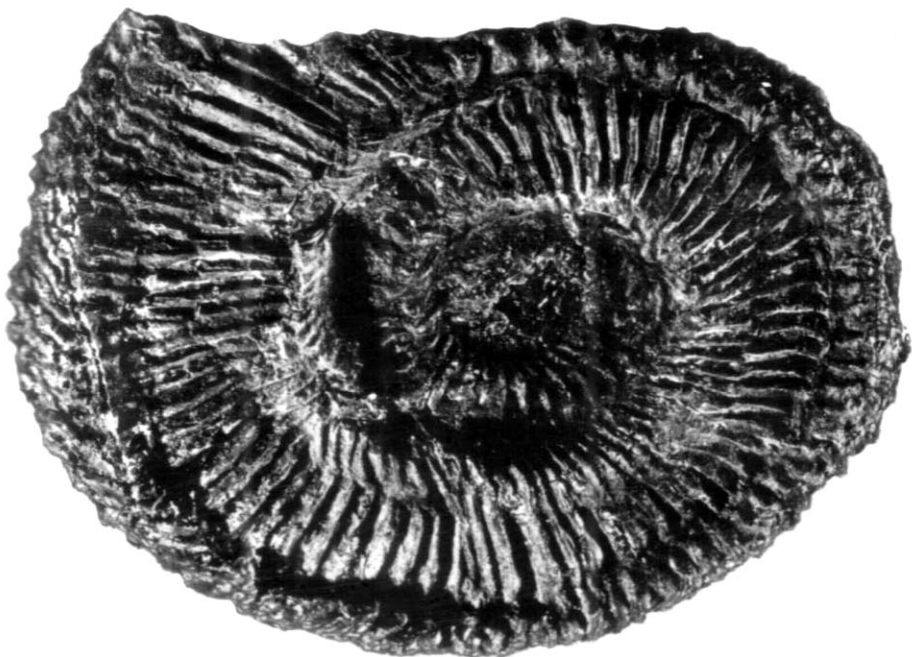
3a



3b



1



2